



UNIVERSIDADE D  
**COIMBRA**

MESTRADO EM ENGENHARIA E DE COMPUTADORES

**Relatório de Sistema Robóticos Autónomos**

Modelação e controlo de movimento  
da plataforma móvel de condução diferencial

**Duarte Cruz, 2017264057**  
**João Pedro Chaves Castilho, 2017263424**

# 1 Introdução

Neste trabalho laboratorial tínhamos como objetivo simular o comportamento de uma plataforma de condução diferencial, nomeadamente três movimentos diferentes: movimento para um ponto, movimento segundo uma linha e movimento para uma pose arbitrária. Foi usado o MatLab para a programação dos algoritmos e o Gazebo para simular o comportamento de uma plataforma diferencial, nomeadamente o Turtlebot.

## 2 Movimento para um ponto

Neste movimento era-nos pedido, sendo  $(x, y, \theta)$  a pose atual da plataforma, implementar um algoritmo que levasse a plataforma para um qualquer ponto  $(x^*, y^*)$ . A implementação descrita nesta secção está presente no ficheiro *control\_1.m*

Para realizar este movimento vamos implementar dois controladores, um controlador para a velocidade linear  $v(k)$ :

$$v(k) = k_v \cdot e(k) \quad (1)$$

sendo  $e(k)$  o erro de posição definido por:

$$e(k) = \sqrt{(x^* - x(k))^2 + (y^* - y(k))^2} \quad (2)$$

O controlador para a velocidade angular,  $w(k)$  é definido por:

$$w(k) = k_s \cdot (\phi^* \perp \theta(k)), \quad k_s > 0 \quad (3)$$

sendo  $\phi^*$  o ângulo objectivo para orientar a plataforma relativamente ao ponto objectivo, definido por:

$$\phi^* = \tan^{-1} \frac{y^* - y(k)}{x^* - x(k)} \quad (4)$$

O operador  $\perp$  pode ser calculado através de:

$$\phi^* \perp \theta(k) = \text{atan2}(\sin(\phi^* - \theta(k)), \cos(\phi^* - \theta(k))) \quad (5)$$

Os ganhos de (1) e (3) têm de ser escolhidos criteriosamente de modo que a plataforma tenha um comportamento estável. Para encontrarmos estes valores corremos a nossa simulação com vários valores de  $k_v$  e  $k_s$  e guardamos o percurso resultante numa pasta.

### 2.1 Resultados

Alguns resultados da nossa implementação podem ser observados a seguir:

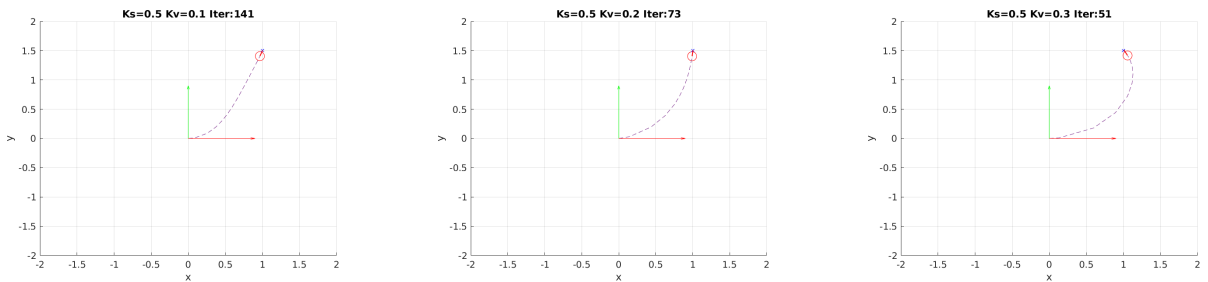


Figure 1: Efeito do  $k_v$

Na Fig.1 podemos observar o efeito do ganho  $k_v$ . Este ganho tal como verificado na equação 1 é responsável pela velocidade linear da plataforma. Quanto maior este ganho, maior será a velocidade linear. Podemos verificar que quando este ganho é demasiado elevado, a plataforma tende a fazer movimentos mais curvilíneos, pois a velocidade angular da plataforma não consegue acompanhar a velocidade linear.

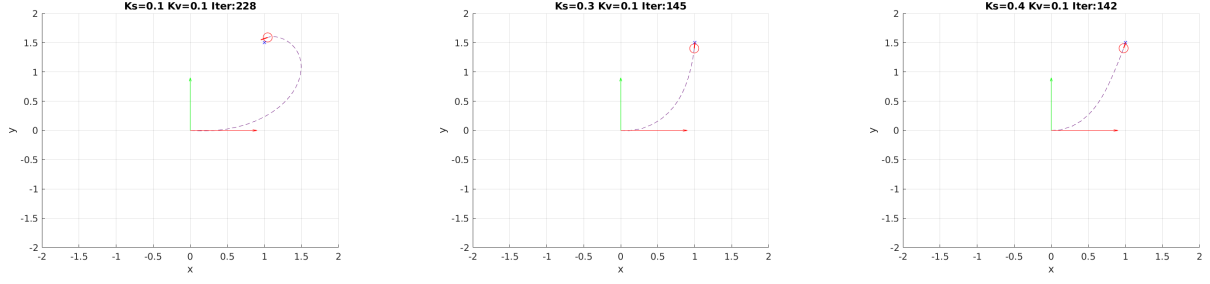


Figure 2: Efeito do  $k_s$

Relativamente ao ganho  $k_s$  podemos observar na Fig.2 que quando aumentamos este ganho, para um  $k_v$  constante, a plataforma vai executar movimentos mais retilíneos.

Podemos então concluir que para esta estratégia de controlo de movimento para um ponto, para que a plataforma execute um bom movimento, é desejável que o  $k_s$  seja superior ao  $k_v$ .

Com a nossa implementação, também é possível que a plataforma efetue movimentos para uma sequência de pontos.

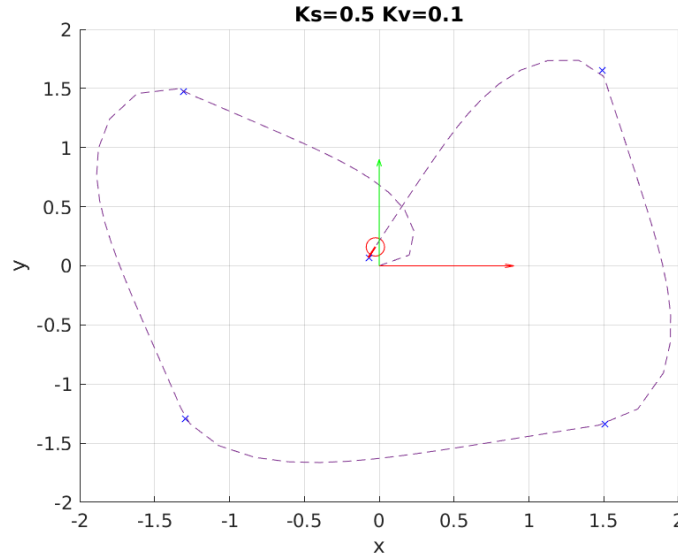


Figure 3: Movimento para vários pontos

### 3 Movimento segundo uma linha

O movimento descrito nesta secção está implementado na função *control\_2.m*.

Neste movimento era-nos pedido que a plataforma efetuasse o seguimento de uma trajetória linear. Esta trajetória linear é definida no plano através de  $ax + by + c = 0$ . Para efetuar este movimento vamos precisar de implementar dois controladores: um para minimizar a distância da normal entre a plataforma e a linha, rodando a plataforma na direção da linha e outro controlador para ajustar o ângulo da plataforma de forma a esta ficar paralela à linha.

O primeiro controlador é definido por:

$$\alpha_d = -k_d d, \quad k_d > 0 \quad (6)$$

sendo  $d$  definido por:

$$d = \frac{(a, b, c) \cdot (x(k), y(k), 1)}{\sqrt{a^2 + b^2}} \quad (7)$$

O segundo controlador, é definido por:

$$\alpha_h = k_h(\phi^* \perp \theta(k)), \quad k_h > 0 \quad (8)$$

sendo  $\phi^*$  o ângulo objetivo da plataforma, definido por:

$$\phi^* = \tan^{-1} \frac{-a}{b} \quad (9)$$

Neste movimento temos apenas uma variável de controlo, a velocidade angular da plataforma. A velocidade linear é mantida constante ao longo de todo o movimento, sendo igual a  $v_{max}$ . Por fim a lei de controlo combinada fica então:

$$\omega(k) = \alpha_d + \alpha_h \quad (10)$$

### 3.1 Resultados

Para que o nosso simulador seja mais interativo, damos a opção ao utilizador de escolher a reta que quer que a plataforma siga, escolhendo dois pontos presentes dessa reta.

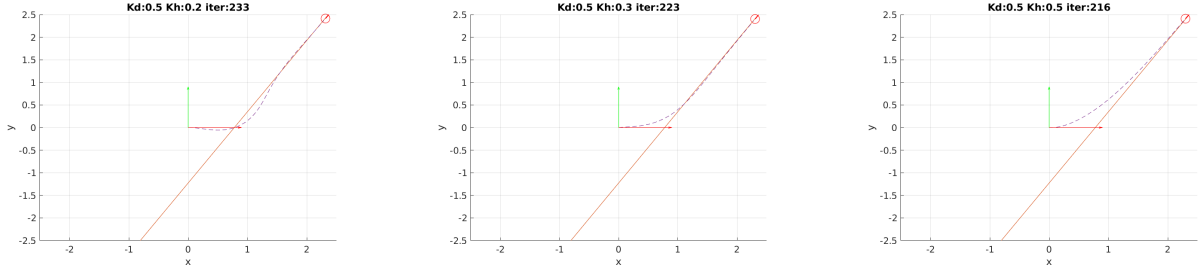


Figure 4: Efeito do  $k_h$

Na Fig.4 podemos observar o efeito de  $k_h$  para um valor constante de  $k_d = 0.5$ . Verificamos que para um valor de  $k_h$  baixo, relativamente a  $k_d$  faz com que a plataforma tenha algum overshoot no seguimento da reta, no entanto, a plataforma diminui a distância para a reta mais rapidamente. Ao aumentarmos o valor de  $k_h$  o overshoot é diminuído e a plataforma demora mais tempo a anular o erro da distância à reta.

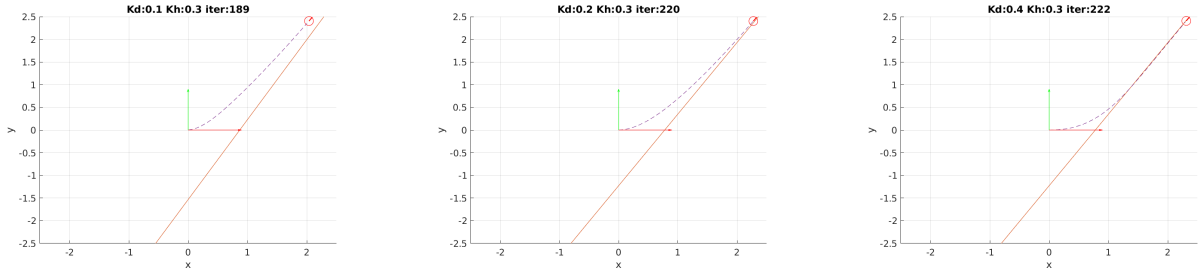


Figure 5: Efeito do  $k_d$

No que diz respeito ao  $k_d$ , observamos um comportamento semelhante. Ao aumentarmos  $k_d$  obtemos uma melhor resposta. Podemos concluir, com os resultados presentes nas Fig.4 e 5 que para uma resposta adequado para o seguimento da linha, queremos que o  $k_d$  seja maior que o  $k_h$ . No entanto, esta diferença não pode ser muito grande, pois pode criar overshoot no seguimento da reta.

## 4 Movimento para uma pose arbitrária

Para este movimento era-nos pedido que para movimentar a plataforma da sua pose arbitrária,  $(x, y, \theta)$ , para uma pose objectivo  $(x^*, y^*, \theta^*)$ , sendo ambas as poses escolhidas pelo utilizador.

Usando a seguinte lei de controlo linear:

$$v = k_\rho \rho \quad (11)$$

$$w = k_\alpha \alpha + k_\beta \beta \quad (12)$$

O sistema de controlo em malha fechada vai ser:

$$\begin{bmatrix} \dot{\rho} \\ \dot{\alpha} \\ \dot{\beta} \end{bmatrix} = \begin{bmatrix} -k_\rho \cdot \rho \cdot \cos \alpha \\ k_\rho \cdot \sin \alpha - k_\alpha \cdot \alpha - k_\beta \cdot \beta \\ -k_\rho \cdot \sin \alpha \end{bmatrix} \quad (13)$$

Isto conduz a plataforma para  $(\rho, \alpha, \beta) = (0, 0, 0)$ . Para o sistema ser estável têm de se cumprir as condições abaixo:

$$k_\rho > 0 \quad ; \quad k_\beta < 0 \quad ; \quad k_\alpha - k_\rho > 0 \quad (14)$$

É preciso ainda ter em atenção que as fórmulas anteriores consideram a pose objetivo como a origem, por isso foi necessário fazer a seguinte transformação de coordenadas para que a pose objetivo passe a ser a pose arbitrária,  $(x^*, y^*, \theta^*)$ , definida pelo utilizador.

$$x' = x - x^* \quad ; \quad y' = y - y^* \quad ; \quad \beta' = \beta + \phi^* \quad (15)$$

Para calcular os parâmetros de  $\rho$ ,  $\alpha$  e  $\beta$  para os instantes seguintes, utilizamos uma função do *Matlab* desenvolvida por nós chamada *update\_parameters*. Esta função vai calcular as derivadas dos parâmetros através da equação (13) e depois vai calcular o valor desses parâmetros para o instante seguinte através da seguinte fórmula:

$$\begin{bmatrix} \rho(t + \Delta t) \\ \alpha(t + \Delta t) \\ \beta(t + \Delta t) \end{bmatrix} = \begin{bmatrix} \Delta t \cdot \dot{\rho} + \rho(t) \\ \Delta t \cdot \dot{\alpha} + \alpha(t) \\ \Delta t \cdot \dot{\beta} + \beta(t) \end{bmatrix} \quad (16)$$

Para assim podermos estimar as velocidades (11) e (12) para os próximos instantes.

## 4.1 Resultados

Os resultados desta implementação podem ser visualizados em baixo.

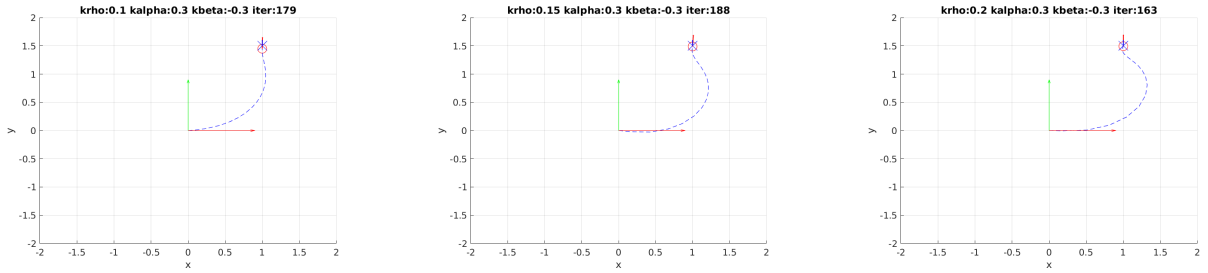


Figure 6: Efeito do  $k_\rho$

Na Fig.6 podemos observar o efeito do ganho  $k_\rho$  no movimento da plataforma. Este ganho é responsável pela velocidade linear da plataforma, e quanto maior for este ganho, maior será a velocidade linear da plataforma. Podemos observar que quando aumentamos o  $k_\rho$  e mantemos os restantes ganhos, a plataforma vai realizar movimentos mais curvilíneos, pois a velocidade angular não consegue "acompanhar" a velocidade linear.

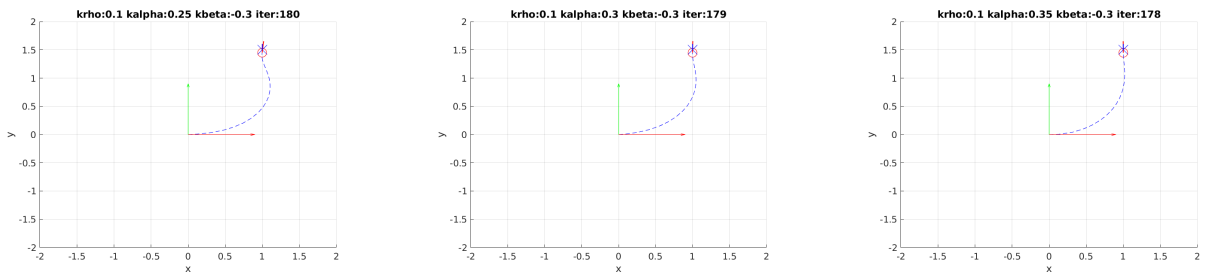


Figure 7: Efeito do  $k_\alpha$

Quando mantemos  $k_\rho$  e variamos os restantes ganhos, verificamos que ao aumentar  $k_\alpha$ , responsável pela orientação da plataforma, vemos que a plataforma consegue ajustar a sua orientação para alinhar com a orientação desejada, mais rapidamente. O mesmo pode ser observado para o ganho  $k_\beta$ .

Alguns testes foram também feitos para um percurso com várias "poses".

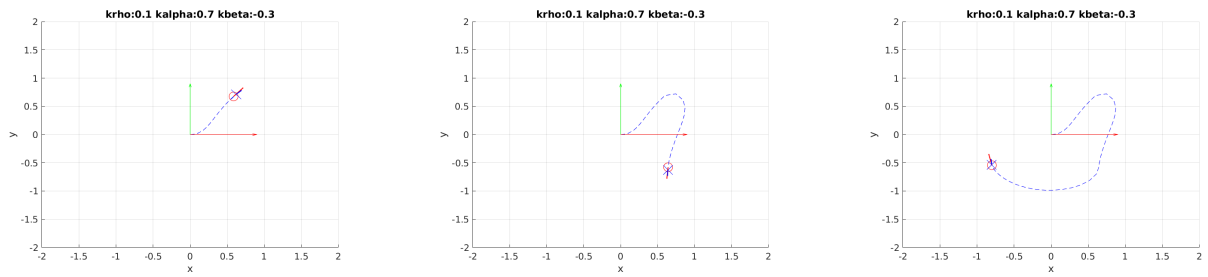


Figure 8: Sequência de posições

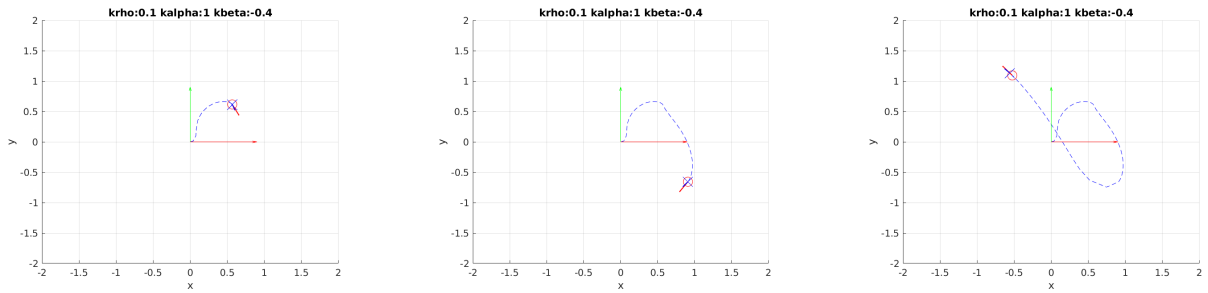


Figure 9: Sequência de posições

Podemos verificar, observando as Fig.8 e 9 que a nossa plataforma é capaz de atingir qualquer posição escolhida.

Noutra simulação que fizemos podemos observar a evolução das variáveis de controlo, e também a velocidade linear e angular da plataforma.

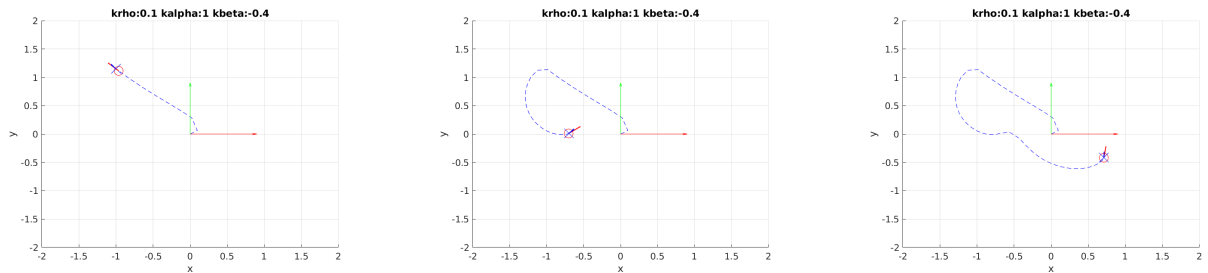


Figure 10: Sequência de posições

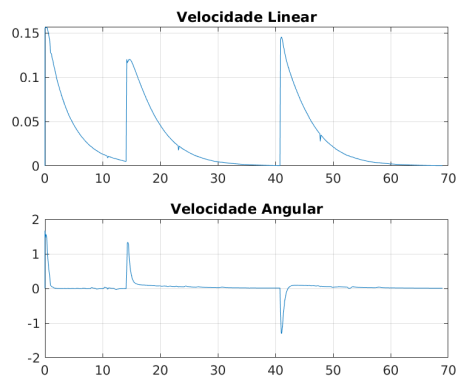


Figure 11: Evolução das velocidades

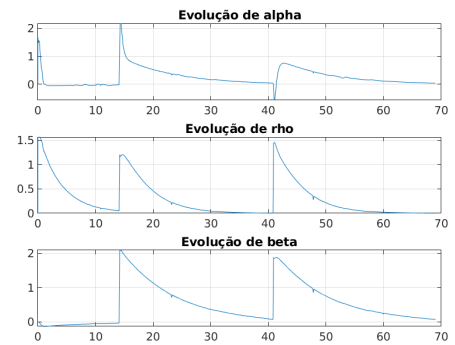


Figure 12: Evolução de variáveis de controlo

## 5 Appendix

### 5.1 Loop de controlo para movimento para o ponto

```
1 while (dist > 0.1)
2     % read TurtleBot pose
3     [x,y,theta] = tbot.readPose();
4
5     dist = sqrt((goal_pose(1)-x)^2+(goal_pose(2)-y)^2);
6     v = kv(j)*dist;
7     phi = atan2((goal_pose(2)-y),(goal_pose(1)-x));
8     w = ks(i)*atan2(sin(phi-theta),cos(phi-theta));
9     tbot.setVelocity(v,w);
10 end
```

### 5.2 Loop de controlo para movimento linha

```
1 reta = [-4.03 2.55 3.14]; %ax+by+c=0
2
3 while (1)
4     [x,y,theta] = tbot.readPose();
5
6     d = dot(reta,[x,y,1])/sqrt(reta(1)^2+reta(2)^2);
7     phi = atan2(-reta(1),reta(2));
8
9     alpha_d = -kd(i)*d;
10    alpha_h = kh(j)*atan2(sin(phi-theta),cos(phi-theta));
11    w = alpha_d+alpha_h;
12
13    tbot.setVelocity(0.08,w);
14 end
```

### 5.3 Loop de controlo para movimento para "pose"

```
1 while (rho_>0.05 || abs(beta_)>0.07 || abs(alpha_)>0.07)
2     [x,y,theta]=tbot.readPose();
3     dx = goal_pose(1) - x;
4     dy = goal_pose(2) - y;
5     rho_ = sqrt(dx^2 + dy^2);
6
7     alpha_ = -theta + atan2(dy,dx);
8     alpha_ = atan2(sin(alpha_),cos(alpha_));
9
10    beta_ = -theta - alpha_ + goal_pose(3);
11    beta_ = atan2(sin(beta_),cos(beta_));
12
13    [rho_,alpha_,beta_] = update_parameters(rho_,alpha_,beta_,k_rho,k_alpha,k_beta,last_update);
14    last_update = tic;
15    v = k_rho*rho_;
16    w = k_alpha*alpha_+k_beta*beta_;
17
18    tbot.setVelocity(v,w);
19 end
20
21 function [rho_new, alpha_new, beta_new] = update_parameters(rho, alpha, beta, ...
22     k_rho, k_alpha, k_beta,T)
23     dRho = -k_rho*rho*cos(alpha);
```

```

24     dAlpha = k_rho*sin(alpha)-k_alpha*alpha-k_beta*beta;
25     dBeta = -k_rho*sin(alpha);
26
27     rho_new = dRho*toc(T)+rho;
28     alpha_new = dAlpha*toc(T)+alpha;
29     alpha_new = atan2(sin(alpha_new),cos(alpha_new));
30     beta_new = dBeta*toc(T)+beta;
31     beta_new = atan2(sin(beta_new),cos(beta_new));
32 end

```